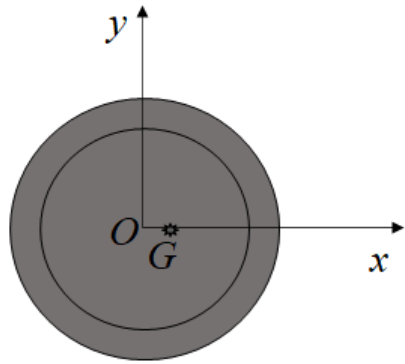


## P1-2021 – Balanceamento de um rotor cônico

Rotor cônico de massa  $m$ .



O sistema de balanceamento, indicado esquematicamente na cor azul, detectou que o rotor de formato cônico está desbalanceado. O sistema cartesiano  $Oxyz$ , orientado pela base ortonormal  $(\mathbf{i}, \mathbf{j}, \mathbf{k})$ , é solidário ao rotor, sendo  $Oz$  o eixo de rotação. Sob velocidade angular  $\omega$ , **mantida constante**, as medidas do dinamômetro indicaram reações (força e torque) aplicadas pelo mancal:

$$\mathbf{F}^{reat} = -mg(9\mathbf{i} - \mathbf{k})$$

$$\mathbf{M}_O^{reat} = 8x_G m g \mathbf{j}$$

onde  $m$  é a massa do rotor e  $x_G$  é a coordenada  $x$  do centro de massa. Considera-se os produtos de inércia definidos por:

$$J_{xz} = + \int_{CR} xy dm$$

$$J_{xz} = + \int_{CR} xz dm$$

$$\boldsymbol{\Omega} = \omega \mathbf{k} \quad \boldsymbol{\Omega} = [0 \quad 0 \quad \omega]^T$$

$$[J_O] = \begin{bmatrix} J_{xx} & J_{xy} & J_{xz} \\ J_{xy} & J_{yy} & J_{yz} \\ J_{xz} & J_{yz} & J_{zz} \end{bmatrix}$$

$$m \mathbf{a}_G = \mathbf{R}$$

$$[J_O] \{ \dot{\boldsymbol{\Omega}} \} + \boldsymbol{\Omega} \wedge [J_O] \{ \boldsymbol{\Omega} \} = \{ M_O^{ext} \}$$

Eqs de Newton-Euler

Então:

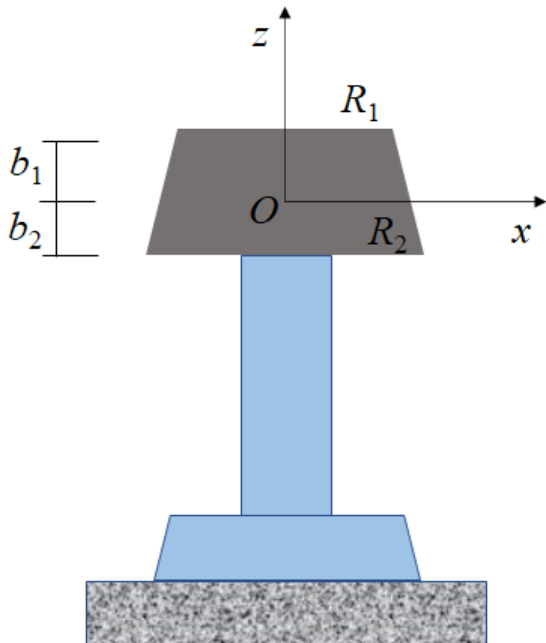
$$-m\omega^2 x_G \mathbf{i} = \mathbf{F}^{reat} - mg \mathbf{k} =$$

$$= -mg(9\mathbf{i} - \mathbf{k}) - mg \mathbf{k} = -9mg \mathbf{i}$$

e

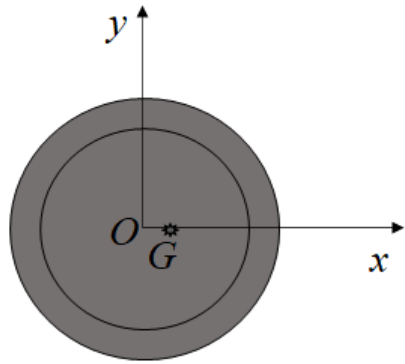
$$-J_{xz} \omega^2 \mathbf{j} = \mathbf{M}_O^{ext} = \mathbf{M}_O^{reat} + x_G \mathbf{i} \wedge (-mg \mathbf{k}) =$$

$$= \mathbf{M}_O^{reat} + x_G m g \mathbf{j} = 8x_G m g \mathbf{j} + x_G m g \mathbf{j}$$



# P1-2021 – Balanceamento de um rotor cônico

Rotor cônico de massa  $m$ .

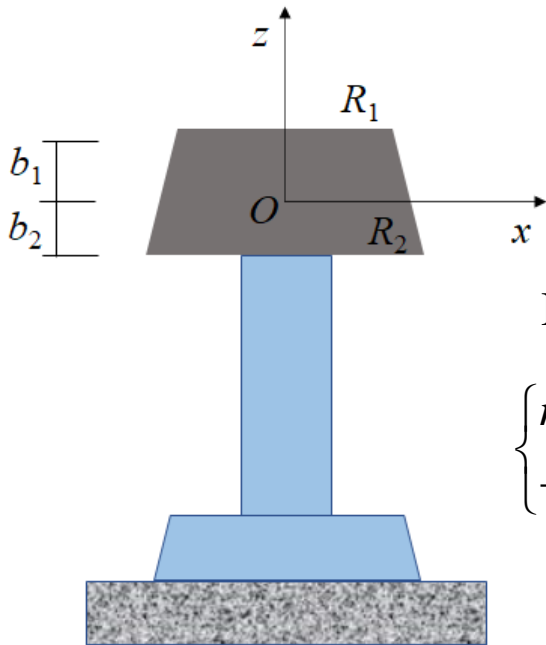


$$\mathbf{F}^{reat} = -mg(9\mathbf{i} - \mathbf{k})$$

$$\mathbf{M}_O^{reat} = 8x_G m g \mathbf{j}$$

$$J_{xz} = + \int_{CR} xy dm$$

$$J_{xz} = + \int_{CR} xz dm$$



Balanceamento:

$$\begin{cases} mx_G - m_1 R_1 - m_2 R_2 = 0 \\ -m_1 R_1 b_1 + m_2 R_2 b_2 + J_{xz} = 0 \end{cases}$$



$$\begin{cases} \frac{m_1}{m} = \frac{1}{R_1(b_1 + b_2)} \left[ x_G b_2 + \frac{J_{xz}}{m} \right] \\ \frac{m_2}{m} = \frac{1}{R_2(b_1 + b_2)} \left[ x_G b_1 - \frac{J_{xz}}{m} \right] \end{cases}$$



$$\begin{cases} \gamma_1 = 1 \\ \gamma_2 = 1 \end{cases}$$

Portanto:

$$m\omega^2 x_G \mathbf{i} = 9m g \mathbf{i}$$

e

$$-J_{xz} \omega^2 \mathbf{j} = 9x_G m g \mathbf{j}$$



$$\begin{cases} x_G = 9 \frac{g}{\omega^2} \\ e \\ J_{xz} = -9 \frac{x_G m g}{\omega^2} = -m x_G^2 \end{cases}$$



$$\begin{cases} \alpha = 9 \\ \beta = -1 \end{cases}$$

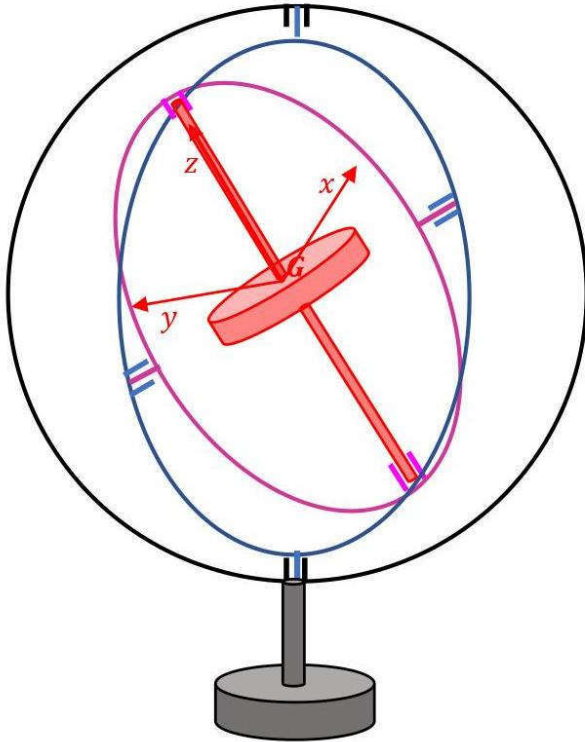


Questão 2

Incompleto

Vale 1,5 ponto(s).

O disco homogêneo de massa  $m$  e raio  $r$ , originalmente em equilíbrio apoiado sobre uma suspensão Cardan (vide figura), parte do repouso com vetor rotação absoluta  $\vec{\omega} = \omega_x \vec{i} + \omega_y \vec{j} + \omega_z \vec{k}$ .



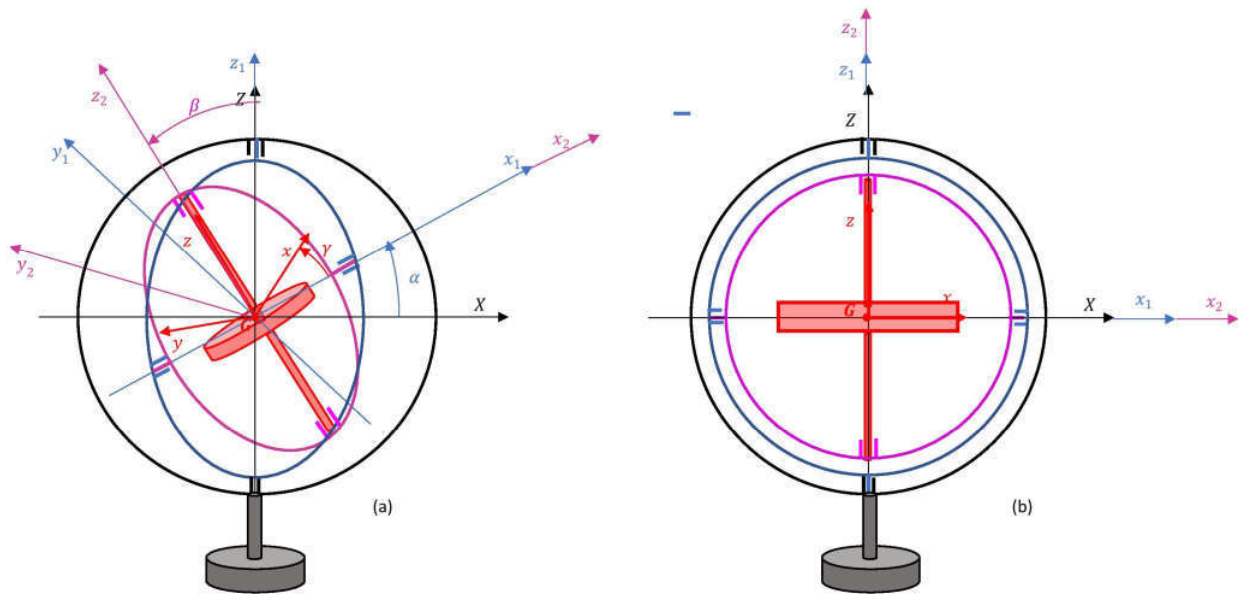
Analise o movimento do cilindro e, em seguida, assinale as alternativas corretas cuidadosamente, pois as respostas erradas receberão **pontuação negativa**.

- a. O disco realiza uma precessão estacionária regular em torno de seu eixo de simetria.
- b. O disco realiza um movimento periódico com ângulo de precessão invariante.
- c. O disco realiza um movimento periódico com ângulo de nutação variável.
- d. Durante o movimento, há conservação da quantidade de movimento angular com respeito a um polo arbitrário pertencente ao disco ou à sua extensão material.
- e. A direção do vetor  $\vec{H}_G$  coincide com a do eixo de precessão do disco.
- f. O movimento do disco só é possível porque ele está sob a ação de um momento externo.

**Questão 3**  
Vale 1,5 pontos

Um disco encontra-se originalmente em equilíbrio montado sobre uma suspensão Cardan. Conforme ilustrado na figura (a), essa suspensão compõe-se de 3 anéis: o anel preto é fixo no espaço; o anel azul pode girar apoiado em mancais ligados ao anel preto ao longo da direção  $GZ$ ; o anel rosa pode girar apoiado em mancais ligados ao anel azul segundo a direção  $Gx_1$ . O disco, por sua vez, pode girar apoiado em mancais ligados ao anel rosa segundo a direção  $Gz_2$ . Os eixos  $GXYZ$ ,  $Gx_1y_1z_1$ ,  $Gx_2y_2z_2$  são ligados, respectivamente, aos anéis preto, azul e rosa; os eixos  $Gxyz$  são ligados ao disco.

Para orientar o disco conforme mostrado na figura (a), partiu-se de uma configuração em que os 3 anéis estavam alinhados no mesmo plano (figura b) e, em seguida, efetuaram-se rotações  $\alpha$ ,  $\beta$ ,  $\gamma$  em torno dos eixos  $GZ$ ,  $Gx_1$ ,  $Gz_2$ , respectivamente e nesta ordem.



Pretende-se colocar o dispositivo em movimento, de forma tal que o eixo  $Gz$  do disco se mantenha permanentemente orientado ao longo da direção  $GX$ .

Selecione, dentre as opções a seguir, o estado cinemático inicial do disco que atende ao objetivo estabelecido no parágrafo anterior.

- a.  $\gamma = 0, \beta = 0, \dot{\gamma} = 0, \dot{\beta} = 0, \dot{\alpha} \neq 0$
- b.  $\alpha = 0, \beta = 0, \dot{\gamma} = 0, \dot{\beta} = 0, \dot{\gamma} \neq 0$
- c.  $\alpha = \frac{\pi}{2}, \beta = 0, \dot{\alpha} = 0, \dot{\beta} = 0, \dot{\gamma} \neq 0$
- d.  $\alpha = \frac{\pi}{2}, \beta = \frac{\pi}{2}, \dot{\alpha} = 0, \dot{\beta} = 0, \dot{\gamma} \neq 0$
- e.  $\alpha = 0, \beta = \pi, \dot{\alpha} = 0, \dot{\beta} = 0, \dot{\gamma} \neq 0$

**PME 3200 – P1 2021 – questão 4**

Considere o sistema formado por uma barra esbelta e homogênea  $AB$  de massa  $m$ , comprimento  $\ell$  e uma pequena esfera, também de massa  $m$ . A extremidade  $B$  da barra está apoiada em uma superfície fixa, rígida, lisa e vertical. Na extremidade  $A$  existe uma articulação ideal.

Sabe-se que, imediatamente antes de a esfera entrar em contato com o ponto  $P$  da barra, sua velocidade possui módulo  $v$  e direção que forma ângulo  $\theta$  com a normal de choque. O coeficiente de restituição é conhecido e vale  $e$ . Não há atrito no choque.

Utilize a base orientada  $\vec{i}, \vec{j}, \vec{k}$  e:

(a) faça o diagrama de corpo livre para para impulsos na barra  $AB$  (1,0);

(b) Em função dos parâmetros  $m, \ell, v, \theta$  e de maneira coerente com a base  $\vec{i}, \vec{j}, \vec{k}$ , equacione o problema de modo a obter o sistema cuja solução fornece:

- o módulo da velocidade  $v'$  da esfera imediatamente após o choque;
- o ângulo  $\phi$  entre a normal de choque e o vetor velocidade da esfera imediatamente após o choque;
- o impulso aplicado pela esfera no ponto  $P$  da barra;
- as velocidades do centro de massa  $\vec{v}'_G$  e angular  $\vec{\omega}'$  da barra imediatamente após o choque;
- as componentes em  $\vec{i}$  e  $\vec{j}$  da reação impulsiva em  $A$ .

(TRI e relações cinemáticas: 1,0; TMI: 0,5; hipótese de Newton: 0,5)

(c) numere as equações e indique quais delas resolvem o problema. Não é necessário achar a solução dessas equações (0,5)

Faça eventuais comentários no campo aberto abaixo. Digitalize sua dedução manuscrita em formato .pdf. Carregue os arquivos.

Intitule os arquivos no padrão:

P1 - Impacto <Nome Sobrenome>.pdf

Cuide para que sua caligrafia seja legível. Organize seu texto. Cuide também para que a digitalização tenha qualidade, com nitidez e contraste adequados, de tal forma que a sua resolução possa ser bem apreciada pelo avaliador.

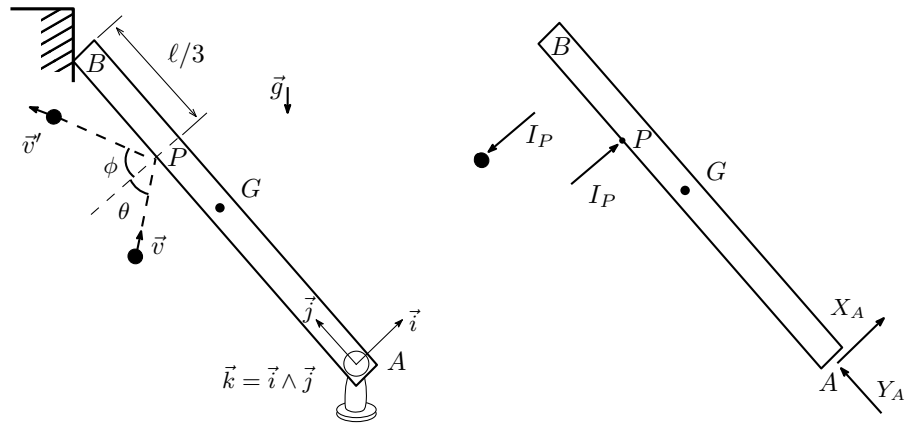


Figura 1:

### Solução

O DCL está na fig. 1.

TRI na esfera:

$$m(\vec{v}' - \vec{v}) = -I_P \vec{i}$$

$$m[(-v' \cos \phi - v \cos \theta) \vec{i} + (v' \sin \phi - v \sin \theta) \vec{j}] = -I_P \vec{i}$$

$$\vec{i} : -m(v' \cos \phi + v \cos \theta) = -I_P \quad (1)$$

$$\vec{j} : m(v' \sin \phi - v \sin \theta) = 0 \quad (2)$$

TRI na barra:

$$m(\vec{v}'_G - \vec{v}_G) = (I_P + X_A) \vec{i} + Y_A \vec{j}$$

$$m \vec{v}'_G = (I_P + X_A) \vec{i} + Y_A \vec{j}$$

Utilizando a equação fundamental da cinemática para um corpo rígido (barra) imediatamente após o choque segue que:

$$\vec{v}'_G = \vec{v}_A + \omega' \vec{k} \wedge \ell/2 \vec{j} \quad \therefore \vec{v}'_G = -\omega' \ell/2 \vec{i} \quad (3)$$

Voltando ao TRI na barra,

$$\vec{i} : -m\omega' \ell/2 = I_P + X_A \quad (4)$$

$$\vec{j} : Y_A = 0$$

TMI na barra AB, polo A:

$$\vec{H}'_A - \vec{H}_A = \mathcal{M}_A$$

$$J_{A_z} \omega' \vec{k} = (2\ell/3) \vec{j} \wedge I_P \vec{i}$$

$$\vec{k} : m\ell^2 \omega' / 3 = (-2\ell/3) I_P \Rightarrow$$

$$m\ell \omega' = -2I_P \quad (5)$$

Hip. de Newton (coeficiente de restituição  $e$ , subscripto  $\vec{v}_P$ ,  $P \in$  barra  $AB$  e  $\vec{v}$  indicando a esfera):

$$\begin{aligned} (\vec{v}'_P - \vec{v}') \cdot \vec{i} &= -e(\vec{v}_P - \vec{v}) \cdot \vec{i} \\ v'_P - (-v' \cos \phi) &= -e(0 - v \cos \theta) \Rightarrow \\ v'_P + v' \cos \phi &= ev \cos \theta \quad (6) \end{aligned}$$

Equação fundamental da cinemática do CR na barra para os pontos  $P$  e  $A$ :

$$v'_P = -2\ell\omega'/3 \quad (7)$$

Incógnitas:  $\phi$ ,  $v'$ ,  $I_P$ ,  $\omega'$ ,  $X_A$ ,  $v'_P$ ,  $v'_G$

Uma seqüência possível para a solução do sistema com sete equações e sete incógnitas é a seguinte:

1. (7) em (6)  $\rightarrow$  (8);
2.  $v' \cos \phi$  de (8) em (1)  $\rightarrow$  (9);
3. (9) em (4)  $\rightarrow \omega' = \frac{-3v(1+e) \cos \theta}{7\ell}$ ;
4.  $\omega'$  em (6)  $\rightarrow v'_P = \frac{2v(1+e) \cos \theta}{7}$ ;
5.  $\omega'$  em (4)  $\rightarrow I_P = \frac{3mv(1+e) \cos \theta}{14}$  ;
6.  $I_P$  em (0.3)  $\rightarrow X_A = 0$ .

Observe que esse resultado era esperado, pois a cota onde se dá o impacto da esfera na barra é exatamente seu *centro de percussão*;

7.  $I_P$  em (1)  $\rightarrow v' = \frac{v \cos \theta [3(1+e) - 1]}{14 \cos \phi} \quad (10)$
8. (10) em (2)  $\rightarrow \cos \phi = \frac{3(1+e) - 1}{14} \cot \theta$
9.  $\cos \phi$  em (2)  $\rightarrow v' = v \sen \theta$